

pravyl bezpeky u vuhil'nykh shakhtakh. Kyiv, Minpalivenergo, 2003. 480 pp. Print. 5. Solomichev, R.I. "Dvopromeneyvy sposib vymiryuvannya kontsentratsiyi i dyspersnosti pylovooho aerozolyu u vuhil'nykh shakhtakh". *Zbirnyk tez dopovidey druhoi naukovoji mizhnarodnoji konferentsiyi «Vymiryuvannya, kontrol' ta diahnozyka v tekhnichnykh systemakh» (VKDT:S–2013)*. Vinnytsya: PP «Edel'veys i K», 2013.111–113. Print. 6. Vovna, A.V. and Zori A.A. "Rozrobka ta doslidzhenna shvydkodiyuchoho vymiryuvacha kontsentratsiyi metanu invariantnoho do zapylennya rudnychnoyi atmosfery". *Naukovi pratsi DonNTU. Seriya : "Obchyslyval'na tekhnika ta avtomatyzatsiya"*. № 22(200). Donetsk, 2012. 143–150. Print. 7. Vovna, A.V., Zori, A.A., Korenev, V.D. and Hlamov, M.G. "Metody i sredstva analiticheskogo izmernenija koncentracii gazovyh komponent i pyli v rudnichnoji atmosferi ugol'nyh shaht". Doneck: GVUZ «DonNTU», 2012. 260 pp. Print

*Надійшла (received) 05.05.2014*

УДК 534.232.082.72; 620.179.16; 620.179.17

**О. Н. ПЕТРИЩЕВ**, д-р техн. наук, проф., НТУУ «КПІ», Київ;  
**Г. М. СУЧКОВ**, д-р техн. наук, проф., НТУ «ХПІ»;  
**Е. Л. НОЗДРАЧЕВА**, канд. техн. наук, доцент НТУ «ХПІ»;  
**М. И. РОМАНЮК**, аспирант, НТУУ «КПІ», Київ

## **МАТЕМАТИЧЕСКОЕ МОДЕЛИРОВАНИЕ ПРЕОБРАЗОВАТЕЛЯ ЕМКОСТНОГО ТИПА В РЕЖИМЕ ВОЗБУЖДЕНИЯ УЛЬТРАЗВУКОВЫХ ВОЛН В МЕТАЛЛАХ. ЧАСТЬ 1**

Предложена математическая модель емкостного преобразователя для излучения ультразвуковых колебаний в металлическое изделие. Получено выражение для расчета поверхностной плотности статического электрического заряда на поверхности металлического образца. Выявлены основные влияющие факторы, определяющие плотность зарядов на поверхности изделия и, соответственно, мощность и диаграмму направленности излучаемого ультразвукового поля.

**Ключевые слова:** ультразвуковой контроль, емкостной преобразователь, плотность электрического заряда, электрическое поле, емкость, ультразвуковые колебания.

**Введение.** Внедрение энерго- и ресурсосберегающих технологий необходимо не только при производстве, но и при проведении неразрушающего контроля [1]. Разработка новых методов и средств контроля ведется практически во всех ведущих странах мира [2]. Одним из интенсивно развивающихся и внедряемых методов, позволяющий экономить энергию и материалы, является электромагнитно-акустический [3]. Однако, он имеет ряд ограничений в некоторых областях при-

© О. Н. Петрищев, Г. М. Сучков, Е. Л. Ноздрачева, М. И. Романюк, 2014

менения, в частности при контроле ферромагнитных материалов, из-за сильного притяжения преобразователя к изделию, при контроле сплавов из меди и титановых сплавов. Принципиально улучшить ситуацию возможно за счет применения емкостного метода возбуждения и приема ультразвуковых колебаний. Однако, практически реализуемая чувствительность этого метода сравнительно небольшая [4]. Поэтому перспективными для практики являются теоретические и экспериментальные разработки, направленные на увеличение чувствительности емкостного метода возбуждения и приема ультразвуковых волн в металлах. Требуется исследовать и определить влияние факторов, определяющих работу емкостных преобразователей, и показать возможные пути повышения их чувствительности.

### 1. Общая схема построения математической модели емкостного преобразователя в режиме возбуждения ультразвуковых волн

Рассмотрим преобразователь емкостного типа (рис. 1), в виде металлического круглого диска (позиция 1 на рис. 1), который располагается на расстоянии  $\delta$  над поверхностью электропроводного образца (позиция 2). На металлический диск подается постоянный во времени электрический потенциал  $U_0$ , который формирует на поверхности ме-

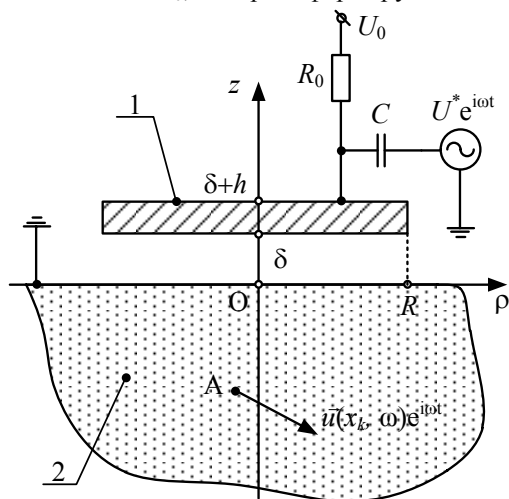


Рис. 1 – Расчетная схема электроакустического преобразователя емкостного типа в режиме возбуждения ультразвуковых волн в металлическом образце

таллического образца электрический заряд с поверхностной плотностью  $\sigma^0(\rho)$ , где  $\rho, \varphi, z$  - координатные линии цилиндрической системы координат, начало которой располагается на поверхности металлического образца (в точке  $O$ ), а ось  $z$  совмещена с осью симметрии диска (рис. 1). Очевидно, что электрические поля и поверхностная плотность  $\sigma^0(\rho)$  наведенного электрического заряда не зависят от круговой координаты  $\varphi$ .

Одновременно с постоянным потенциалом  $U_0$  на металлический диск подается изменяющейся во времени по гармоническому закону  $e^{i\omega t}$  ( $i = \sqrt{-1}$ ;  $\omega$  - циклическая частота;  $t$  - время) электрический потенциал с амплитудным значением  $U^*$ . Этот потенциал создает переменное электрическое поле с напряженностью  $\vec{E}^- e^{i\omega t}$  ( $\vec{E}^-$  - амплитуда вектора напряженности переменного электрического поля).

Пусть выполняется неравенство  $U^* \ll U_0$ . Тогда поверхностные заряды, которые создаются переменным электрическим полем, можно не принимать в расчет. В таком случае переменное электрическое поле линейно взаимодействует со статическим электрическим зарядом, в результате чего на поверхности  $z = 0$  металлического образца возникают силы Кулона с поверхностной плотностью  $\sigma_{z\rho}^*(\rho, t)$  и  $\sigma_{zz}^*(\rho, t)$ .  
Причем

$$\sigma_{z\rho}^*(\rho, t) = \sigma^0(\rho) E_\rho^*(\rho, 0) e^{i\omega t}, \quad \sigma_{zz}^*(\rho, t) = \sigma^0(\rho) E_z^*(\rho, 0) e^{i\omega t}, \quad (1)$$

где  $E_\rho^*(\rho, 0)$  и  $E_z^*(\rho, 0)$  - амплитудные значения радиального и аксиального компонентов вектора напряженности переменного электрического поля на поверхности  $z = 0$  металлического образца.

Силы Кулона  $\sigma_{z\rho}^*(\rho, t)$  и  $\sigma_{zz}^*(\rho, t)$  или, используя терминологию механики деформируемого твердого тела, касательные и нормальные поверхностные нагрузки, создают в области существования постоянно и переменного электрических полей динамические деформации поверхности металлического объекта. Из области динамических деформаций избыток энергии выносится упругими волнами в объем металлического образца. Учитывая линейность физической системы и существующих в ней процессов, определим вектор смещения материальных частиц металла как гармонически изменяющуюся во времени величину с амплитудным значением  $\vec{u}(x_k, \omega)$ , где  $x_k$  - координаты точки наблюдения за волновым полем (произвольно выбранная точка  $A$  на рис. 1).

Амплитудные значения волнового поля смещений  $\vec{u}(x_k, \omega)e^{i\omega t}$  в любой точке внутри металлического образца удовлетворяют уравнению установившихся гармонических колебаний. В инвариантной относительно выбора системы координат форме это уравнение записывается следующим образом [5]

$$(\lambda + 2G)\text{grad div } \vec{u}(x_k, \omega) - \text{grad div } \vec{u}(x_k, \omega) + \rho_0 \omega \vec{u}(x_k, \omega) = \nu, \quad (2)$$

где  $\lambda$  и  $G$  – константы Ламе для изотропного по упругим свойствам металла;  $\rho_0$  – плотность металла.

Смещения  $\vec{u}(x_k, \omega)e^{i\omega t}$  материальных частиц металла, решения уравнения (2), создают в объеме металла деформации, которым противостоят силы упругости, т. е. механические напряжения  $\sigma_{\beta\lambda}(x_k, \omega)e^{i\omega t}$  ( $\beta, \lambda = \rho, z$ ). На поверхности  $z = 0$  металла должен выполняться третий закон Ньютона в дифференциальной форме, согласно которому должны выполняться следующие граничные условия

$$\sigma_{z\rho}(\rho, 0) = \sigma_{z\rho}^*(\rho), \quad \sigma_{zz}(\rho, 0) = \sigma_{zz}^*(\rho), \quad (3)$$

где  $\sigma_{z\rho}^*(\rho)$  и  $\sigma_{zz}^*(\rho)$  – амплитудные значения поверхностной плотности сил Кулона (см. выражение (1)). Выполнение граничных условий (3) обеспечивает единственность решения уравнения (2).

Таким образом, электрическое воздействие  $U^*e^{i\omega t}$  на входе преобразователя емкостного типа (рис. 1) формирует вектор смещения материальных частиц  $\vec{u}(x_k, \omega)e^{i\omega t}$  в произвольной точке  $A$  (рис. 1), т. е. гармонически изменяющееся во времени по закону  $e^{i\omega t}$  воздействие порождает изменяющийся по тому же закону отклик. При этом становится справедливой следующая запись

$$\vec{u}(x_k, \omega) = U^* \vec{W}^u(x_k, \omega, \Pi), \quad (4)$$

где  $\vec{W}^u(x_k, \omega, \Pi)$  – векторная функция, зависящая от координат точки  $A$  наблюдения за волновым полем, т. е. от набора чисел  $x_k \equiv \rho, \phi, z$ , круговой частоты  $\omega$  смены знака воздействия и набора физико-механических параметров (символ  $\Pi$  в списке аргументов векторной

функции) описываемой физической системы, т. е. преобразователя емкостного типа. Векторную функцию  $\vec{W}^u(x_k, \omega, \Pi)$  будем называть передаточной характеристикой емкостного преобразователя в режиме излучения ультразвуковых волн.

В соответствии с определениями академика А. Н. Тихонова [6] векторная функция  $\vec{W}^u(x_k, \omega, \Pi)$  имеет смысл математической модели реального объекта, т. е. в данном случае электроакустического преобразователя емкостного типа в режиме излучения ультразвуковых волн.

Из сказанного выше следует, что построение математической модели емкостного преобразователя в режиме излучения ультразвуковых волн естественным образом распадается на две, последовательно решаемые, задачи.

Первая задача – это задача электродинамики об определении сил Кулона на поверхности металлического образца.

Вторая задача – это граничная задача (2), (3) динамической теории упругости о возбуждении гармонических волн системой поверхностных нагрузок. Решение этой задачи позволит записать в явном виде выражение для расчета компонентов векторной функции  $\vec{W}^u(x_k, \omega, \Pi)$ , т. е. завершает построение математической модели преобразователя емкостного типа в режиме возбуждения.

## **2. Определение поверхностной плотности $\sigma^0(\rho)$ статического электрического заряда на поверхности металлического образца**

Электростатическое поле, которое создается электрически заряженным диском в окружающем его воздушном пространстве, можно описать с помощью скалярного осесимметричного электрического потенциала  $\Phi^0(\rho, z)$ , где  $\rho$  и  $z$  - радиальная и аксиальная координаты цилиндрической системы координат  $\rho, \varphi, z$  (рис. 1). Скалярный потенциал  $\Phi^0(\rho, z)$  удовлетворяет уравнению Пуассона [7]

$$\nabla^2 \Phi^0(\rho, z) = -\rho_e / \chi_0, \quad (5)$$

где  $\rho_e$  - объемная плотность статического электрического заряда в металлическом диске;  $\chi_0 = 8,85 \cdot 10^{-12} \text{ Ф/м}$  - диэлектрическая проницаемость окружающего диск пространства.

Будем считать, что статический электрический заряд в объеме диска  $V = \pi R^2 h$  ( $R$  - радиус диска,  $h$  - его толщина) распределен равномерно и поэтому

$$\rho_e = \frac{C_0 U_0}{\pi R^2 h} f(\rho) f(z), \quad (6)$$

где  $C_0 \approx \pi R^2 \chi_0 / \delta$  - статическая электрическая емкость диска над поверхностью металлического изделия. Металлический образец для упрощения последующих выкладок заменим полупространством  $z \leq 0$  с изотропной удельной электрической проводимостью  $r$  с размерностью См/м и магнитной проницаемостью  $\mu$  (размерность - Гн/м). Функции  $f(\rho)$  и  $f(z)$  задаются следующим образом

$$f(\rho) = \begin{cases} 1 \forall \rho \in [0, R], \\ 0 \forall \rho \notin [0, R], \end{cases} \quad f(z) = \begin{cases} 1 \forall z \in [\delta, \delta+h], \\ 0 \forall z \notin [\delta, \delta+h]. \end{cases} \quad (7)$$

Так как в статической ситуации электрический ток по поверхности  $z = 0$  не протекает, то радиальный компонент  $E_\rho^0(\rho, z) = -\partial \Phi^0(\rho, z) / \partial \rho$  вектора напряженности статического электрического поля на поверхности металла должен быть равен нулю. В противном случае по поверхности металла протекал бы электрический ток с поверхностной плотностью  $j_\rho^0(\rho) = r E_\rho^0(\rho, 0)$  и статический заряд в этом случае был бы равен нулю. Таким образом, решение уравнения (5) на границе  $z = 0$  должно удовлетворять следующему условию

$$\left. \frac{\partial \Phi^0(\rho, z)}{\partial \rho} \right|_{z=0} = 0. \quad (8)$$

Помимо этого, скалярный потенциал  $\Phi^0(\rho, z)$  и его первые производные  $\partial \Phi^0(\rho, z) / \partial \rho$  и  $\partial \Phi^0(\rho, z) / \partial z$  должны удовлетворять условию физической реализуемости источника поля, т. е. удовлетворять следующим предельным условиям

$$\lim_{L \rightarrow \infty} \left\{ \Phi^0(\rho, z), \frac{\partial \Phi^0(\rho, z)}{\partial \rho}, \frac{\partial \Phi^0(\rho, z)}{\partial z} \right\} = 0, \quad (9)$$

где  $L = \sqrt{\rho^2 + z^2}$  - расстояние от металлического диска.

Физический смысл условия (9) очевиден – источник конечной мощности создает электрическое поле, потенциал которого и компоненты вектора напряженности обращаются в нуль при бесконечном удалении от него.

Развернутая форма записи уравнения (5) имеет следующий вид

$$\frac{1}{\rho} \frac{\partial}{\partial \rho} \left[ \rho \frac{\partial \Phi^0(\rho, z)}{\partial \rho} \right] + \frac{\partial^2 \Phi^0(\rho, z)}{\partial z^2} = -\frac{\rho_e}{\chi_0}. \quad (10)$$

Предельное условие (9) позволяет применить для решения уравнения (10) интегральное преобразование Ханкеля [3] с ядром  $J_0(\gamma\rho)$  ( $J_0(x)$  - функция Бесселя нулевого порядка;  $\gamma$  - параметр интегрального преобразования – действительное число).

Прямое преобразование Ханкеля определяется следующим соотношением [8]

$$\Phi^0(\gamma, z) = \int_0^{\infty} \rho \Phi^0(\rho, z) J_0(\gamma\rho) d\rho, \quad (11)$$

где  $\Phi^0(\gamma, z)$  - интегральный образ по Ханкелю или просто образ функции (оригинала)  $\Phi^0(\rho, z)$ . Прямому преобразованию Ханкеля (11) соответствует обратное преобразование, которое определяется следующим выражением

$$\Phi^0(\rho, z) = \int_0^{\infty} \gamma \Phi^0(\gamma, z) J_0(\gamma\rho) d\gamma, \quad (12)$$

Интегрируя дважды по частям и принимая при этом во внимание предельное условие (9), можно показать, что

$$\int_0^{\infty} \rho \left\{ \frac{1}{\rho} \frac{\partial}{\partial \rho} \left[ \rho \frac{\partial \Phi^0(\rho, z)}{\partial \rho} \right] \right\} J_0(\gamma\rho) d\rho = -\gamma^2 \Phi^0(\gamma, z). \quad (13)$$

Воздействуя на левую и правую части уравнения (10) интегральным преобразованием (11) получаем, с учетом соотношения (13), следующее уравнение для интегрального образа  $\Phi^0(\gamma, z)$  скалярного по-

тенциала

$$\frac{d^2\Phi^0(\gamma, z)}{dz^2} - \gamma^2\Phi^0(\gamma, z) = -\frac{\rho_e(\gamma)}{\chi_0}f(z), \quad (14)$$

где  $\rho_e = \frac{C_0 U_0}{\pi h} \frac{J_1(\gamma R)}{\gamma R}$  - интегральный образ объемной плотности электрического заряда металлического диска ( $J_1(x)$  - функция Бесселя первого порядка). Общее решение обыкновенного дифференциального уравнения (14) известно

$$\Phi^0(\gamma, z) = [A + A(z)]e^{\gamma z} + [B + B(z)]e^{-\gamma z}, \quad (15)$$

где  $A, B$  - константы;  $A(z)$  и  $B(z)$  - варьируемые константы, которые удовлетворяют условию минимума вычислений, т. е.

$$A'(z)e^{\gamma z} + B'(z)e^{-\gamma z} = 0, \quad (16)$$

где штрих означает первую производную по переменной  $z$ .

Подстановка общего решения (15) в уравнение (14) после вычисления производных с учетом условия (16), дает следующий результат

$$\gamma A'(z)e^{\gamma z} - \gamma B'(z)e^{-\gamma z} = -\frac{\rho_e(\gamma)}{\chi_0}f(z). \quad (17)$$

Условие (16) и уравнение (17) образуют алгебраическую систему уравнений, которая единственным образом разрешается относительно производных варьируемых констант  $A(z)$  и  $B(z)$ . Интегрируя найденные производные по переменной  $z$ , получаем

$$A(z) = -\frac{1}{2\gamma\chi_0} \int_0^{z \leq \delta+h} \rho_e(\gamma)f(x)e^{\gamma x} dx = -\frac{C_0 U_0}{2\pi\gamma h\chi_0} \frac{J_1(\gamma R)}{\gamma R} \int_{\delta}^{z \leq \delta+h} e^{\gamma x} dx,$$

$$B(z) = \frac{1}{2\gamma\chi_0} \int_0^{z \leq \delta+h} \rho_e(\gamma)f(x)e^{\gamma x} dx = \frac{C_0 U_0}{2\pi\gamma h\chi_0} \frac{J_1(\gamma R)}{\gamma R} \int_{\delta}^{z \leq \delta+h} e^{\gamma x} dx. \quad (18)$$

При неограниченном возрастании аксиальной координаты  $z$  пер-



вое слагаемое в общем решении (15) стремится к бесконечности и тем самым нарушается предельное условие (9). Во избежание противоречий, необходимо и достаточно положить, что

$$A = -A(\delta + h) = \frac{C_0 U_0}{2\pi\gamma\chi_0} W(\gamma), \quad (19)$$

где  $W(\gamma) = e^{-\gamma\delta} \frac{(1 - e^{-\gamma h}) J_1(\gamma R)}{\gamma h \gamma R}$  - функция, которая учитывает влияние геометрических параметров емкостного преобразователя на характер распределения электрического поля в окружающем пространстве. Таким образом

$$\Phi^0(\gamma, z) = \left[ \frac{C_0 U_0}{2\pi\gamma\chi_0} W(\gamma) + A(z) \right] e^{\gamma z} + [B + V(z)] e^{-\gamma z}. \quad (20)$$

Из определений (18) следует, что при  $z < \delta$ , т. е. в области под металлическим диском варьируемые коэффициенты  $A(z) = B(z) = 0$  и выражение (20) принимает следующий вид

$$\Phi^0(\gamma, z) = \frac{C_0 U_0}{2\pi\gamma\chi_0} W(\gamma) e^{\gamma z} + B e^{-\gamma z}, \quad 0 \leq z \leq \delta. \quad (21)$$

Определим интегральный образ радиального компонента  $E_\rho^0(\rho, z)$  вектора напряженности статического электрического поля следующим образом

$$E_\rho^0(\gamma, z) = \int_0^\infty \rho E_\rho^0(\rho, z) J_1(\gamma\rho) d\rho. \quad (22)$$

Подставляя в определение (22) вместо символа  $E_\rho^0(\rho, z)$  первую производную от электрического потенциала ( $E_\rho^0(\rho, z) = -\partial\Phi^0(\rho, z)/\partial\rho$ ), после интегрирования по частям получаем следующий результат

$$E_p^0(\gamma, z) = \gamma \int_0^\infty \rho \Phi^0(\rho, z) J_0(\gamma \rho) d\rho = \gamma \Phi^0(\gamma, z). \quad (23)$$

Из граничных условий (8) следует, что константа  $B = -C_0 U_0 W(\gamma)/(2\pi\gamma\chi_0)$ . После этого выражение для расчета интегрального образа скалярного потенциала в области  $0 \leq z \leq \delta$  принимает следующий вид

$$\Phi^0(\gamma, z) = \frac{C_0 U_0}{\pi\gamma\chi_0} W(\gamma) sh(\gamma z), \quad 0 \leq z \leq \delta. \quad (24)$$

Аксиальный компонент  $E_z^0(\rho, z) = -\partial\Phi^0(\rho, z)/\partial z$  вектора напряженности электростатического поля имеет интегральный образ  $E_z^0(\gamma, z) = -\partial\Phi^0(\gamma, z)/\partial z$ , т. е.

$$E_z^0(\gamma, z) = -\frac{C_0 U_0}{\pi\chi_0} W(\gamma) ch(\gamma z), \quad 0 \leq z \leq \delta. \quad (25)$$

Из теории электрических явлений известно [8], что поверхностная плотность электрического заряда на поверхности  $z = 0$ , разделяющей металл и вакуум, определяется следующим образом

$$\sigma^0(\rho) = \chi_0 E_z^0(\rho, 0). \quad (26)$$

Воздействуя на левую и правую части соотношения (26) интегральным преобразованием (11), получаем

$$\sigma^0(\gamma) = \chi_0 E_z^0(\gamma, 0) = -\frac{C_0 U_0}{\pi} W(\gamma). \quad (27)$$

Подвергая соотношение (27) обратному преобразованию Ханкеля (12), получаем выражение для расчета поверхностной плотности статического электрического заряда на поверхности металлического образца

$$\sigma^0(\rho) = -\frac{C_0 U_0}{\pi} \int_0^\infty \gamma W(\gamma) J_0(\gamma \rho) d\gamma. \quad (28)$$

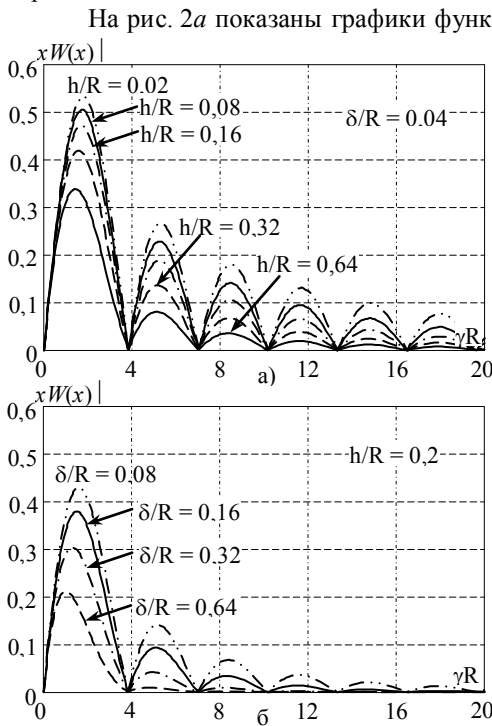
Интеграл (28) определяется численно. Особенностью вычисления интеграла (28) является то, что верхний предел интегрирования является бесконечно большим. В реальном машинном счете верхний предел интегрирования должен быть конечной величиной. Очевидно, что, в первом приближении, такой величиной должно быть действительное число  $\gamma_{\max}$ , начиная с которого выполняется неравенство  $\gamma W(\gamma) < \varepsilon \forall \gamma > \gamma_{\max}$ , где  $\varepsilon$  - наперед заданное малое число. Поскольку

сомножитель  $|J_0(\gamma\rho)| \leq 1$ , то в записанном выше неравенстве было использовано максимальное значение функции Бесселя нулевого порядка, т. е. единица.

На рис. 2 показано изменение фрагмента подынтегрального выражения  $xW(x)$  в зависимости от безразмерного параметра интегрального преобразования  $x = \gamma R$ , где  $R$  - радиус металлического диска. При этом функция  $W(x)$  рассчитывается по формуле

$$W(x) = e^{-x\delta/R} \frac{(1 - e^{-xh/R}) J_1(x)}{(xh/R) x}.$$

По оси ординат на рис. 2 отложены значения модуля функции  $xW(x)$ , по оси абсцисс – безразмерный параметр интегрального преобразования  $x$ .



На рис. 2а показаны графики функции  $xW(x)$  для фиксированного значения  $\delta/R = 0,04$  и варьируемых значений безразмерной толщины диска  $h/R$ . Значения  $h/R$  проставлены в поле рисунка возле соответствующих кривых. На рис. 2б показаны значения модуля функции  $xW(x)$  для фиксированного значения  $h/R = 0,2$  и варьируемых значений относительного неконтакта  $\delta/R$ , которые проставлены в поле рисунка возле соответствующих кривых.

Из представленных на рис. 2 результатов следует, что при  $x > 20$  произведение  $xW(x) < 0,02$  для произвольных (не нулевых) значений  $\delta/R$  и  $h/R$ . Если учесть то, что при  $\rho/R > 0$  функция Бесселя  $J_0(x\rho/R) < 1$ , то можно утверждать, что основной вклад в интеграл (28) осу-

Рис. 2 – Изменение модуля фрагмента подынтегрального выражения (28)

ществляют значения подинтегральной функции на интервале интегрирования  $0 \leq x \leq 20$ .

Таким образом, при выполнении вычислений значения интеграла (28) вместо бесконечного предела интегрирования можно подставить любое безразмерное число  $x_{\max} > 20$ .

На рис. 3 показаны результаты вычисления поверхностной плотности  $\sigma^0(\rho)$  статического электрического заряда по формуле (28), которая в терминах безразмерного параметра  $x$  записывается следующим образом

$$\sigma^0(\rho/R) = -\frac{C_0 U_0}{\pi R^2} \int_0^{x_{\max}} x W(x) J_0(x\rho/R) dx.$$

При выполнении расчетов статическая электрическая емкость  $C_0$  рассчитывалась по приближенной формуле  $C_0 = \pi R^2 \chi_0 / \delta$ , которая дает несколько заниженную оценку реального значения этой величины.

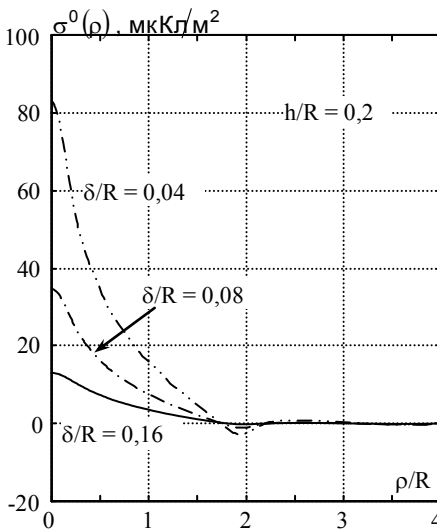


Рис. 3 – Распределение электростатического заряда на поверхности металлического полупространства

Для отображения результатов счета в абсолютных величинах были приняты следующие значения параметров:  $U_0 = 100$  В и  $R = 5$  мм. При вычислении интеграла верхний предел интегрирования был принят равным  $x_{\max} > 40$ . Интервал интегрирования был разделен на 400 отрезков. По оси ординат на рис. 3 отложены значения  $\sigma^0(\rho)$  в микрокулонах, деленных на метр квадратный, взятые с обратным знаком. По оси абсцисс отсчитываются безразмерные расстояния  $\rho/R$  от центра металлического диска. Варьируемым параметром семейства кривых, которые показаны на рис. 3, является величина безразмерного неконтакта  $\delta/R$ , числовые значения которого представлены в поле рисунка возле соответствующих кривых.

**Выводы.** 1. Предложена математическая модель преобразователя емкостного типа в режиме возбуждения ультразвуковых волн в метал-

лах.

2. Построено замкнутое решение задачи электростатики для кучно-однородной среды, в которой полупространство  $z < 0$  заполнено металлом с конечными значениями электрической проводимости и магнитной проницаемости. Получено выражение для расчета поверхностной плотности статического электрического заряда на поверхности металлического образца.

3. Показано, что основными влияющими факторами определяющими плотность зарядов в поверхностном слое металла (а, следовательно, мощность и диаграмму направленности возбуждаемого ультразвукового поля) являются: поляризующее напряжение; емкость преобразователя (диэлектрическая проницаемость); размер преобразователя; величина зазора между преобразователем и изделием; форма преобразователя.

Во второй части работы будут определены характеристики переменного электрического поля емкостного преобразователя и сформулированы количественные оценки поверхностной плотности сил Кулона, что позволит экспериментально проверить полученные теоретические результаты.

**Список литературы:** 1. *Судакова К.В.* О повышении эффективности контроля качества металлургической продукции / *К.В. Судакова, И.Л. Казюкевич* // В мире неразрушающего контроля. – 2004. – № 3. – С. 8-10. 2. *Неразрушающий контроль: Справочник: В 7 т.* Под общ. ред. В.В. Клюева. Т.3: Ультразвуковой контроль / *И.Н. Ермолов, Ю.В. Ланге.* – М.: Машиностроение, 2004. – 864 с. 3. *Сучков Г.М.* Современные возможности ЭМА дефектоскопии / *Г.М. Сучков* // Дефектоскопия. 2005. – № 12. – С. 24-39. 4. *Ермолов И. Н.* Теория и практика ультразвукового контроля. – М: Машиностроение. 1981. – 240 с. 5. *Новацкий В.* Теория упругости. – М: Мир, 1975. – 873 с. 6. *Тихонов А.Н.* Математическая модель. – В кн. Математическая энциклопедия. Т. 3. Кoo – Од. Стб. 574 – 575. М.: Советская энциклопедия, 1982. – 1184 с. 7. *Морс Ф.М., Фешбах Г.* Методы теоретической физики. Т.2. М.: Москва, ИЛ. 1960. — 886 с. 8. *Тамм И. Е.* Основы теории электричества. – М.: Наука, 1976. – 616 с.

**Bibliography (transliterated):** 1. *Sudakova K.V., Kazjuevich I.L.* O povyshenii jeffektivnosti kontrolja kachestva metallurgicheskoj produkcii . V mire nerazrusha-jushhego kontrolja. – 2004. – № 3. – Print. 8-10. 2. "Nerazrushajushhij kontrol": *Spravochnik: V 7 t.* Pod obshh. red. V.V. Kljueva. T.3: *Ul'trazvukovoj kontrol'* / I.N. Ermolov, Ju.V. Lange. – Moscow : *Mashinostroenie*, 2004. – 864 Print. 3. *Suchkov G.M.* *Sovremennye vozmozhnosti JeMA defektoskopii . Defektoskopija.* 2005. – № 12. – Print. 24-39. 4. *Ermolov I. N.* *Teorija i praktika ul'trazvukovogo kontrolja.* - Moscow: *Mashinostroenie*. 1981. - 240 Print. 5. *Novackij V.* *Teorija uprugosti.* – Moscow: *Mir*, 1975. – 873 Print. 6. *Tihonov A.N.* "Matematicheskaja model". – V kn. *Matematicheskaja jenciklopedija.* T. 3. Koo – Od. Print. 574 – 575. Moscow: *Sovetskaja jenciklopedija*, 1982. – 1184 Print. 7. *Mors F.M., Feshbah G.* *Metody teoreticheskoj fiziki.* T.2. M.: Moscow, IL. 1960. — 886 Print. 8. *Tamm I. E.* *Osnovy teorii jelektrichstva.* – Moscow: *Nauka*, 1976. – 616 Print.

*Надійшло (received) 05.05.2014*